



Rekenhart D-Geo Flow

John van Esch

Inhoud



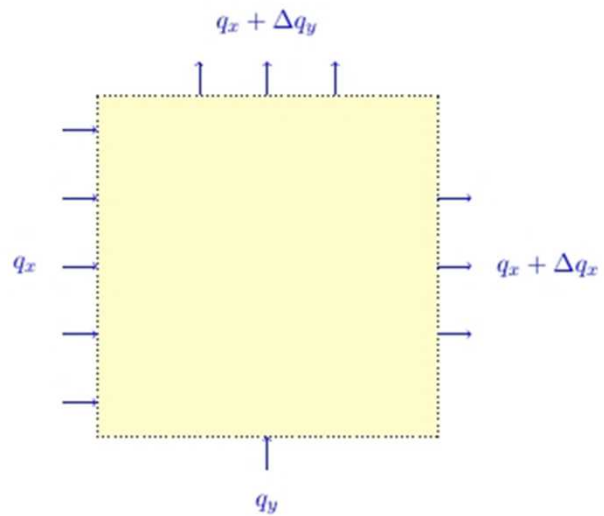
- Verzadigde grondwaterstroming
- Onverzadigde grondwaterstroming
- Randvoorwaarden
- Piping module

Verzadigde grondwater stroming

Behoud van massa (volume)

$$\frac{dq_x}{dx} + \frac{dq_y}{dy} = 0$$

- plaats x, y (m)
- specifiek debiet q_x, q_y (m/s)



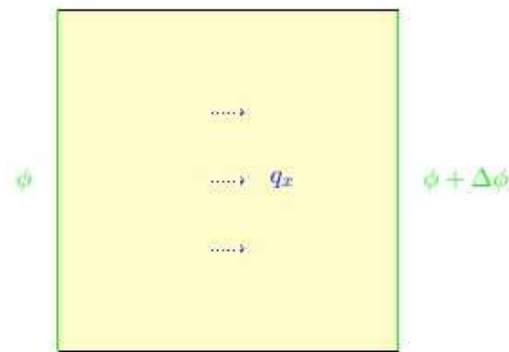
Verzadigde grondwater stroming

Wet van Darcy, specifiek debiet q (m/s)

$$q_x = -K_{xx} \frac{d\phi}{dx}$$

$$q_y = -K_{yy} \frac{d\phi}{dy}$$

- doorlatendheid K (m/s)
- stijghoogte ϕ (m)
- plaats x, y (m)

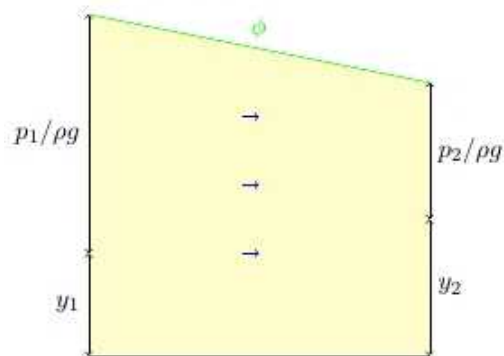


Verzadigde grondwater stroming

Stijghoogte ϕ (m)

$$\phi = \frac{p}{\rho g} + y$$

- druk p (N/m²)
- dichtheid ρ (kg/m³)
- gravitatie versnelling g (m/s²)
- plaatshoogte y (m)

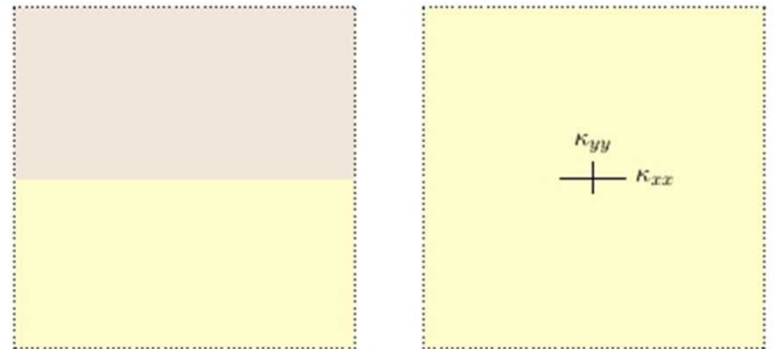


Verzadigde grondwater stroming

Intrinsieke doorlatendheid κ (m^2)

$$\kappa_{xx} = \frac{K_{xx}\rho g}{\mu}, \quad \kappa_{yy} = \frac{K_{yy}\rho g}{\mu}$$

- doorlatendheid K (m/s)
- dichtheid ρ (kg/m^3)
- gravitatie versnelling g (m/s^2)
- dynamische viscositeit μ (Pas)

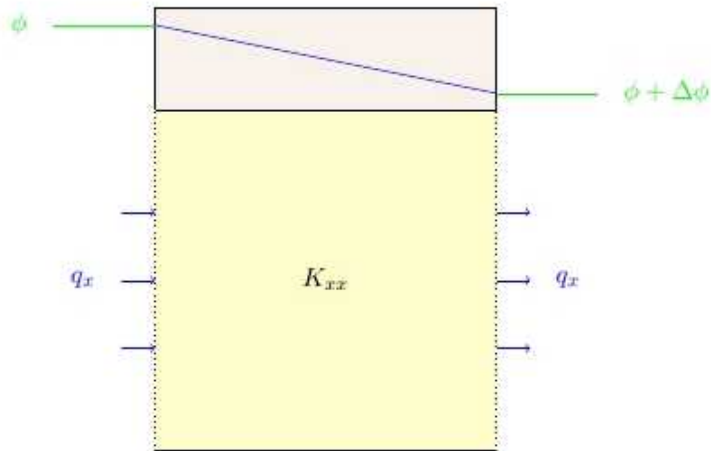


Verzadigde grondwater stroming

Bergingsvergelijking stationair

$$\frac{d}{dx} \left(K_{xx} \frac{d\phi}{dx} \right) + \frac{d}{dy} \left(K_{yy} \frac{d\phi}{dy} \right) = 0$$

- doorlatendheid K (m/s)
- stijghoogte ϕ (m)
- plaats x, y (m)

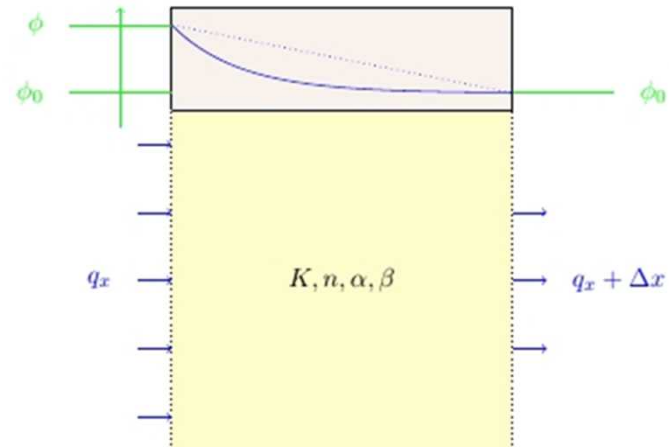


Verzadigde grondwater stroming

Bergingsvergelijking tijdsafhankelijk

$$\frac{\partial}{\partial x} \left(K_{xx} \frac{\partial \phi}{\partial x} \right) + \frac{\partial}{\partial y} \left(K_{yy} \frac{\partial \phi}{\partial y} \right) = \rho g (\alpha + n\beta) \frac{\partial \phi}{\partial t}$$

- doorlatendheid K (m/s)
- stijghoogte ϕ (m)
- plaats x, y (m)
- dichtheid ρ (kg/m³)
- gravitatie versnelling g (m/s²)
- porositeit n (-)
- samendrukbaarheid skelet α (m²/N)
- samendrukbaarheid water β (m²/N)

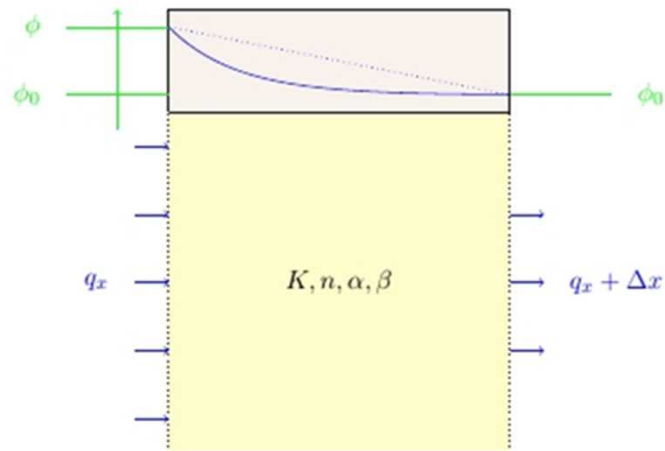


Verzadigde grondwater stroming

Bergingsvergelijking

$$\frac{\partial}{\partial x} \left(\frac{\kappa_{xx}}{\mu} \frac{\partial p}{\partial x} \right) + \frac{\partial}{\partial y} \left(\frac{\kappa_{yy}}{\mu} \frac{\partial p}{\partial y} \right) - \frac{\partial}{\partial y} \left(\frac{\kappa_{yy}}{\mu} \rho g \right) = (\alpha + n\beta) \frac{\partial p}{\partial t}$$

- plaats x, y (m)
- intrinsieke doorlatendheid κ (m^2)
- dynamische viscositeit μ (Pas)
- druk p (N/m^2)
- dichtheid ρ (kg/m^3)
- gravitatie versnelling g (m/s^2)
- porositeit n (-)
- samendrukbaarheid skelet α (m^2/N)
- samendrukbaarheid water β (m^2/N)

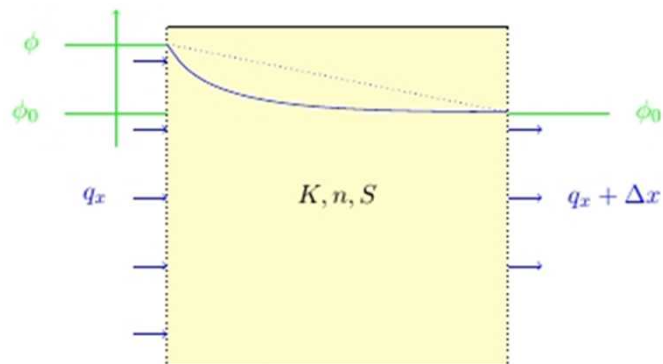


Onverzadigde grondwater stroming

Bergingsvergelijking

$$\frac{\partial}{\partial x} \left(\frac{k_r \kappa_{xx}}{\mu} \frac{\partial p}{\partial x} \right) + \frac{\partial}{\partial y} \left(\frac{k_r \kappa_{yy}}{\mu} \frac{\partial p}{\partial y} \right) - \frac{\partial}{\partial y} \left(\frac{k_r \kappa_{yy}}{\mu} \rho g \right) = (\alpha + n\beta) \frac{\partial p}{\partial t} + n \frac{dS}{dp} \frac{\partial p}{\partial t}$$

- relatieve doorlatendheid k_r (-)
- verzadigingsgraad S (-)
- plaats x, y (m)
- intrinsieke doorlatendheid κ (m^2)
- dynamische viscositeit μ (Pas)
- druk p (N/m^2)
- dichtheid ρ (kg/m^3)
- gravitatie versnelling g (m/s^2)
- porositeit n (-)
- samendrukbaarheid skelet α (m^2/N)
- samendrukbaarheid water β (m^2/N)



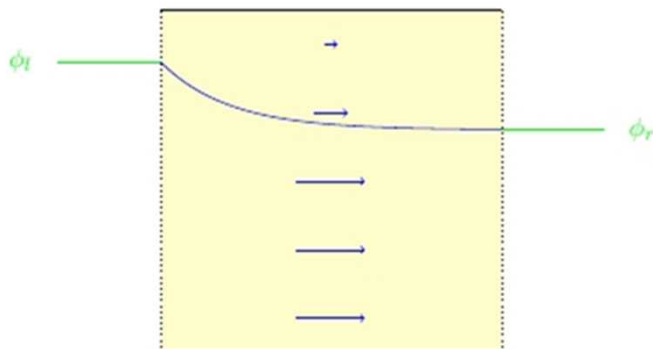
Onverzadigde grondwater stroming

Van Genuchten verzadigingsgraad S (-)

$$\psi < \psi_a \Rightarrow S = S_r + (S_s - S_r) \left[1 + |g_a \psi|^{g_n} \right]^{-g_m}$$

$$\psi \geq \psi_a \Rightarrow S = S_s$$

- drukhoogte ψ (m)
- air entry hoogte ψ_a (m)
- rest verzadiging S_r (-)
- maximale verzadiging S_s (-)
- materiaal parameters g_a, g_n, g_m (-)

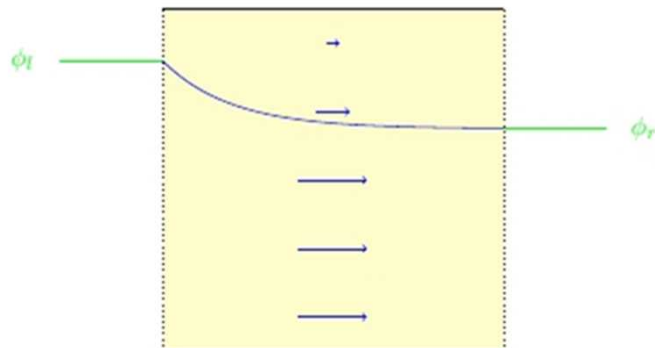


Onverzadigde grondwaterstroming

Van Genuchten relatieve doorlatendheid k_r (-)

$$k_r = (S_e)^{g_l} \left[1 - \left(1 - S_e^{1/g_m} \right)^{g_m} \right]^2 \quad S_e = \frac{S - S_r}{S_s - S_r}$$

- verzadigingsgraad S (-)
- effective verzadigingsgraad S_e (-)
- rest verzadiging S_r (-)
- maximale verzadiging S_s (-)
- materiaal parameters g_l, g_m (-)

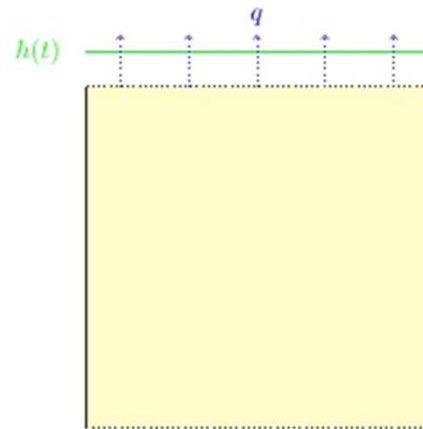


Randvoorwaarden

head boundary

$$\phi_i = h(t)$$

- stijghoogte ϕ_i (m)
- buitenwaterstand $h(t)$ (m)
- tijd t (s)

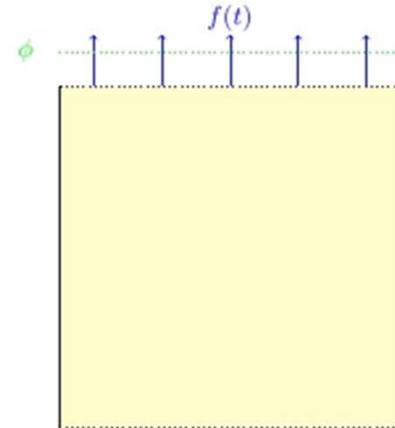


Randvoorwaarden

Flux boundary

$$Q_i = f(t)$$

- debiet Q (m^2/s)
- rand lengte Δx (m)
- uit-flux $f(t)$ (m/s)
- tijd t (s)



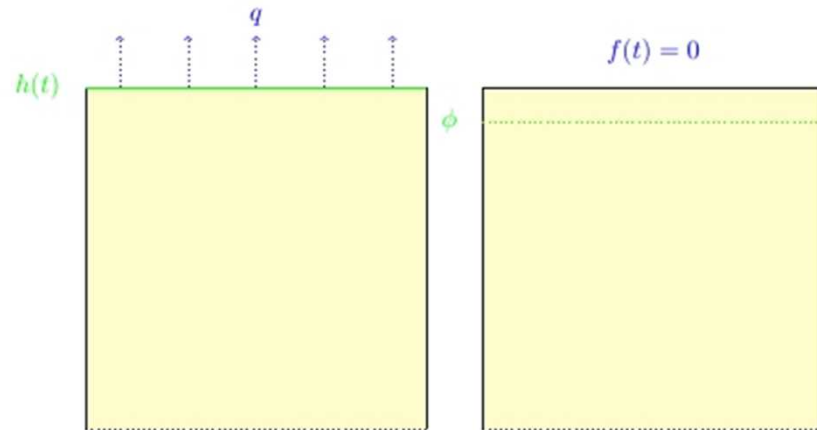
Randvoorwaarden

Seepage boundary

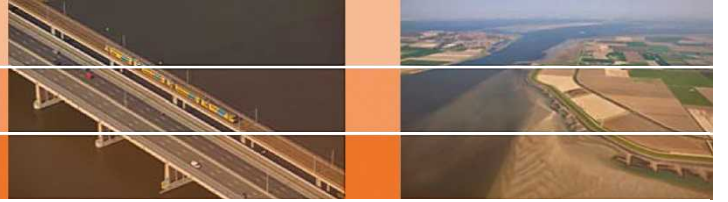
$$Q_i > 0 \Rightarrow p_i = 0$$

$$p_i < 0 \Rightarrow Q_i = 0$$

- debiet Q (m^2/s)
- druk p (N/m^2)



Randvoorwaarden

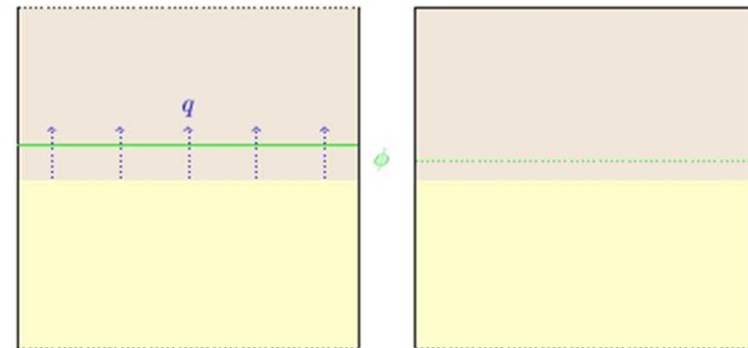


Heave boundary

$$Q_i > 0 \Rightarrow p_i = \rho g d$$

$$p_i < \rho g h \Rightarrow Q_i = 0$$

- debiet Q (m^2/s)
- druk p (N/m^2)
- dichtheid grond ρ (kg/m^3)
- gravitatieversnelling g (m/s^2)
- laagdikte d (m)



Randvoorwaarden



Submerging boundary

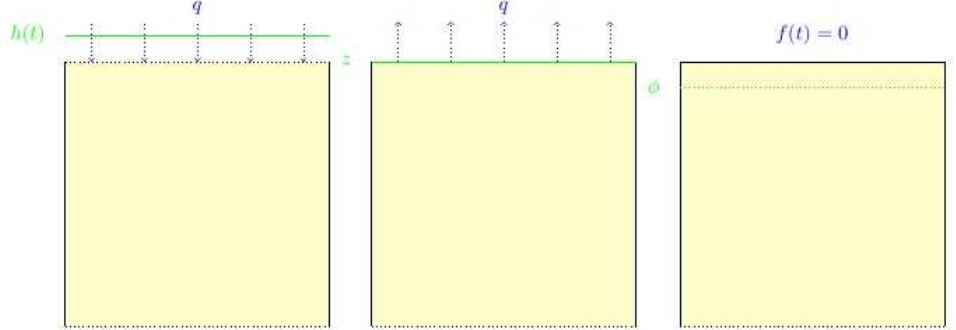
$$h(t) \geq z_i \Rightarrow \phi_i = h(t)$$

$$h(t) < z_i \cap F(t) > 0 \cap Q_i > F(t) \Rightarrow p_i = g_1(t)$$

$$h(t) < z_i \cap g_1 < p_i < g_2 \Rightarrow Q_i = F(t)$$

$$h(t) < z_i \cap F(t) < 0 \cap Q_i > F(t) \Rightarrow p_i = g_2(t)$$

- debiet Q (m^2/s)
- druk p (N/m^2)
- stijghoogte ϕ (m)
- buitenwaterstand $h(t)$ (m)
- verdampingsflux $F(t)$ (m^2/s)
- ponding pressure g_1 (N/m^2)
- osmotic pressure g_2 (N/m^2)
- tijd t (s)



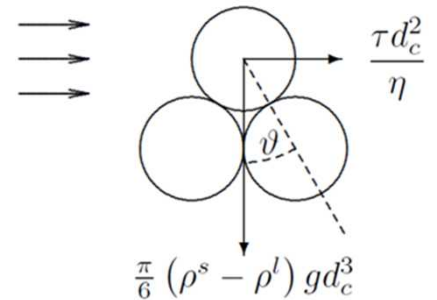
Piping module



Kritische schuifspanning τ_c (N/m²)

$$\tau_c = \frac{\pi}{6} (\rho^s - \rho) g \eta D_{70} \tan \vartheta$$

- dichtheid korrel ρ^s (kg/m³)
- dichtheid water ρ (kg/m³)
- gravitatie versnelling g (m/s²)
- constante van White η (-)
- korreldiameter D_{70} (m)
- bedding hoek ϑ (deg)



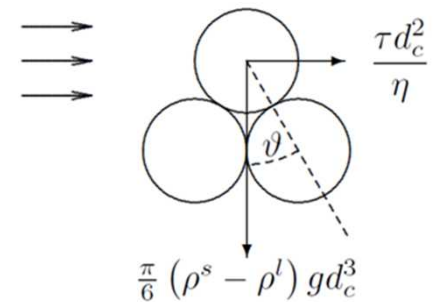
Piping module



Uitgeoefende schuifspanning τ (N/m²)

$$\tau = \frac{a}{2} \frac{dp}{dx}$$

- hoogte pipe a (m)
- druk p (N/m²)
- plaats x (m)



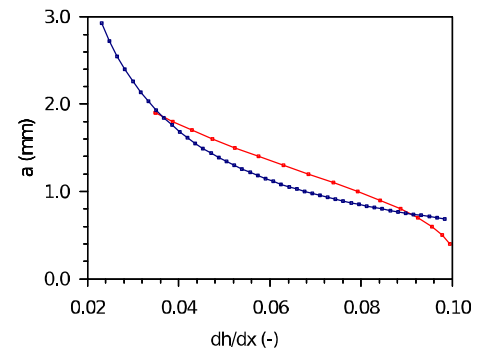
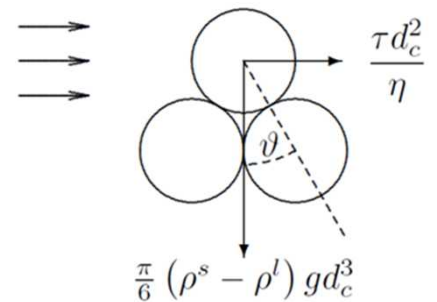
Piping module



Evenwichtsvergelijking

$$a \frac{dp}{dx} = \frac{\pi}{3} (\rho^s - \rho^l) g D_{70} \eta \tan \vartheta$$

- dichtheid korrel ρ^s (kg/m^3)
- dichtheid water ρ (kg/m^3)
- gravitatie versnelling g (m/s^2)
- constante van White η (-)
- korreldiameter D_{70} (m)
- bedding hoek ϑ (deg)
- hoogte pipe a (m)
- druk p (N/m^2)
- plaats x (m)



Piping module



Behoud van massa (volume)

$$\frac{dq}{dx} + s = 0$$



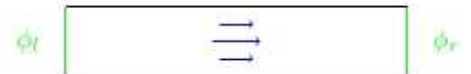
- flux q (m/s)
- plaats x (m)
- sink term s (1/s)

Piping module



Poisseuille stroming q (m/s)

$$q = -\frac{a^3}{12\mu} \frac{dp}{dx}$$



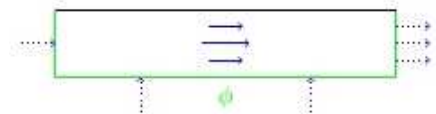
- hoogte pipe a (m)
- dynamische viscositeit μ (Pas)
- druk p (N/m²)
- plaats x (m)

Piping module



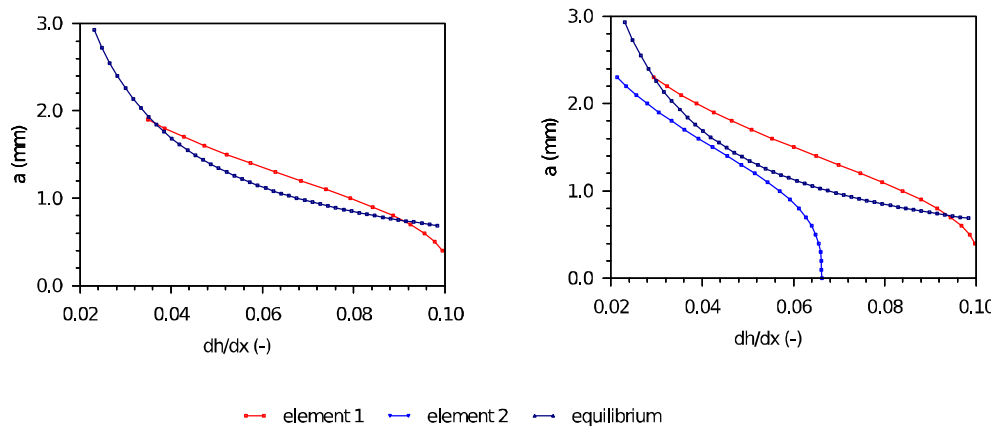
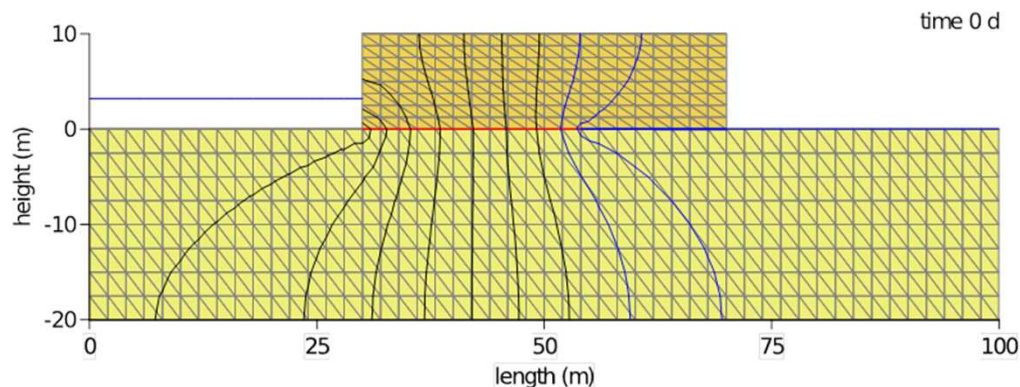
Beringsvergelijking

$$\frac{d}{dx} \left(\frac{a^3}{12\mu} \frac{dp}{dx} \right) - s = 0$$



- hoogte pipe a (m)
- dynamische viscositeit μ (Pas)
- druk p (N/m²)
- plaats x (m)
- sink term s (1/s)

Piping module



Rekenhart D-Geo Flow



Vragen ?

Randvoorwaarden

Climate boundary

$$F(t) > 0 \cap Q_i > F(t) \Rightarrow p_i = g_1(t)$$

$$g_1 < p_i < g_2 \Rightarrow Q_i = F$$

$$F(t) < 0 \cap Q_i > F(t) \Rightarrow p_i = g_2(t)$$

- debiet Q (m^2/s)
- druk p (N/m^2)
- verdampingsflux $F(t)$ (m^2/s)
- ponding pressure g_1 (N/m^2)
- osmotic pressure g_2 (N/m^2)
- tijd t (s)